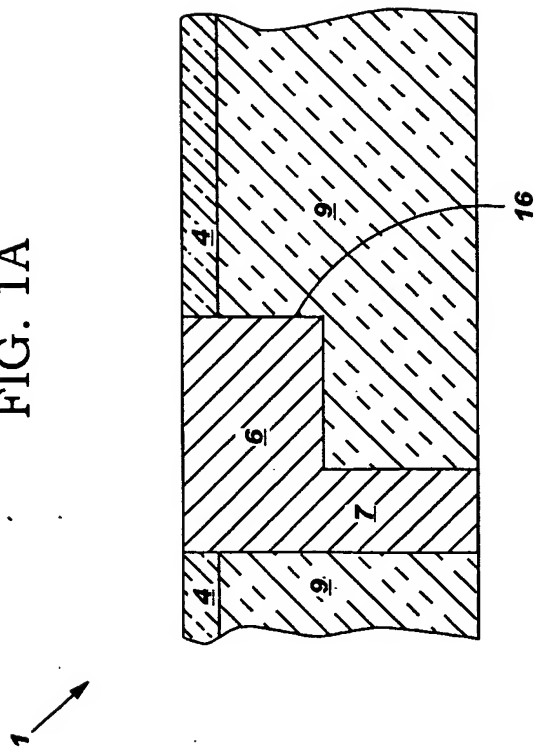


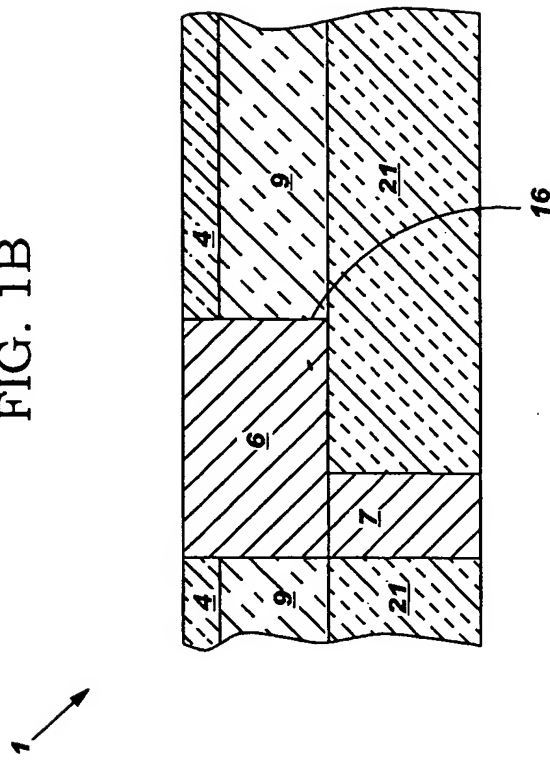
1/14

FIG. 1A



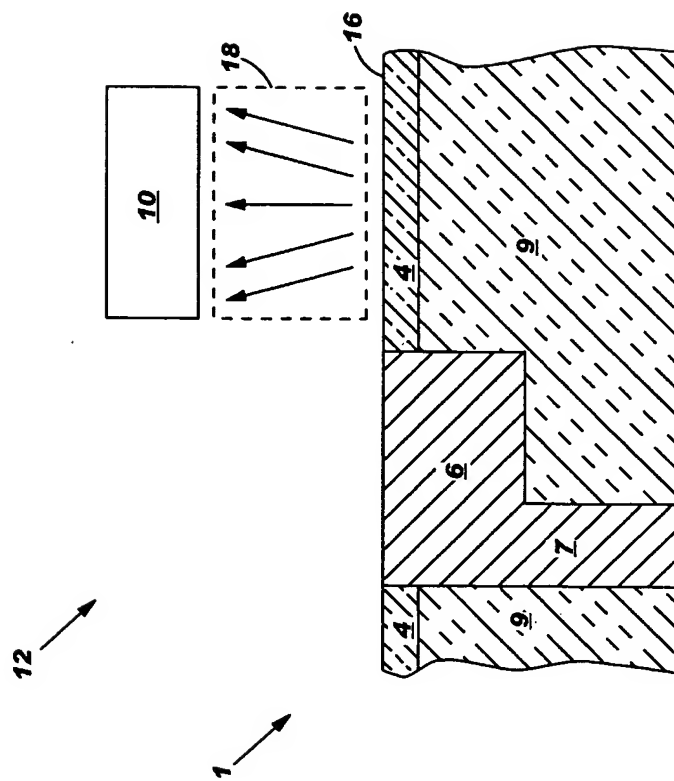
2/14

FIG. 1B



4/14

FIG. 3



5/14

FIG. 4A

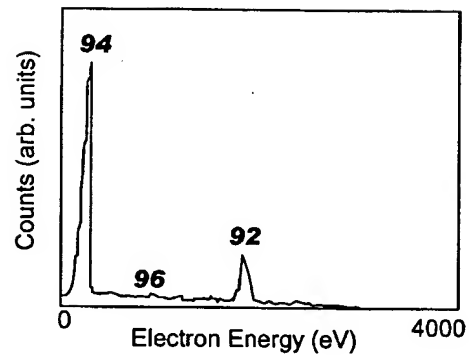


FIG. 4B

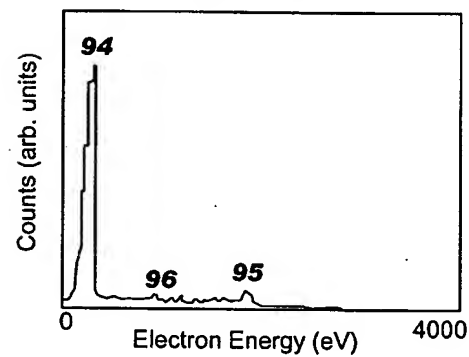
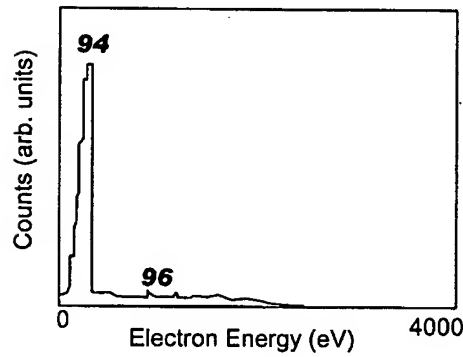


FIG. 4C



6/14
FIG. 5A

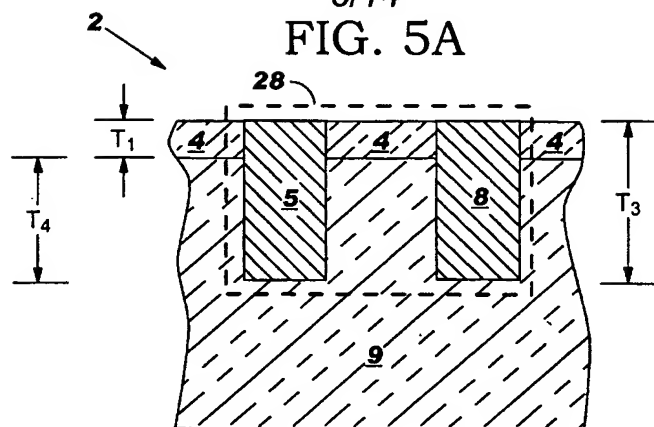


FIG. 5B

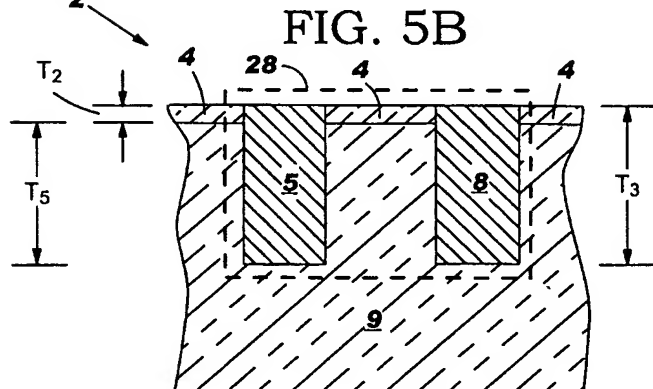
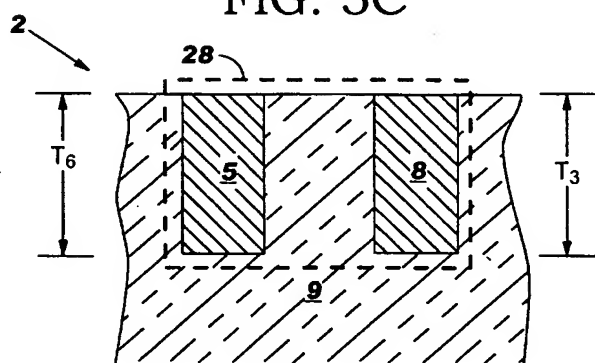
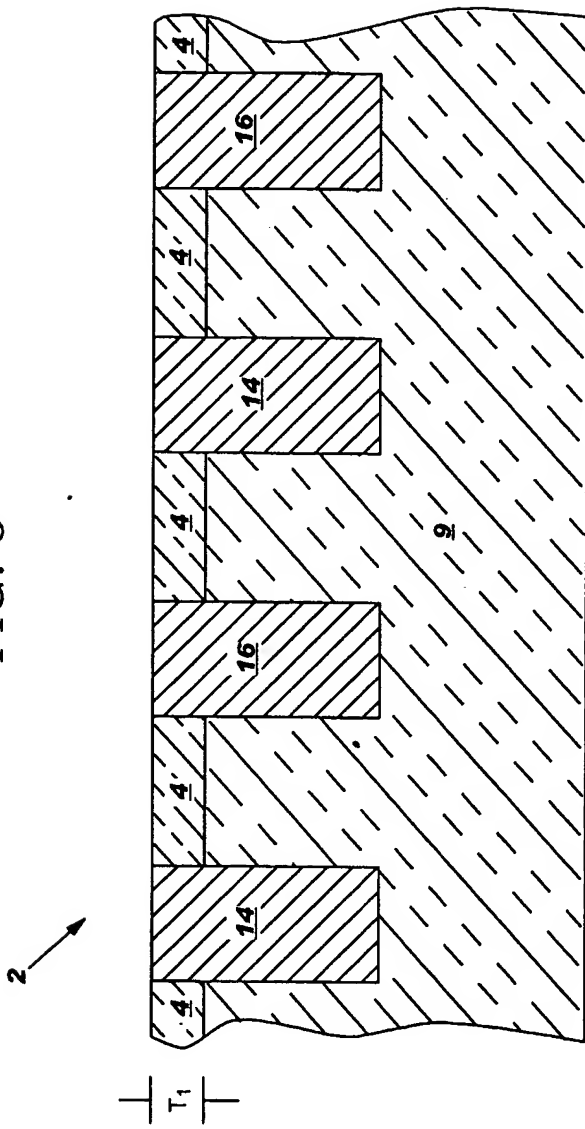


FIG. 5C

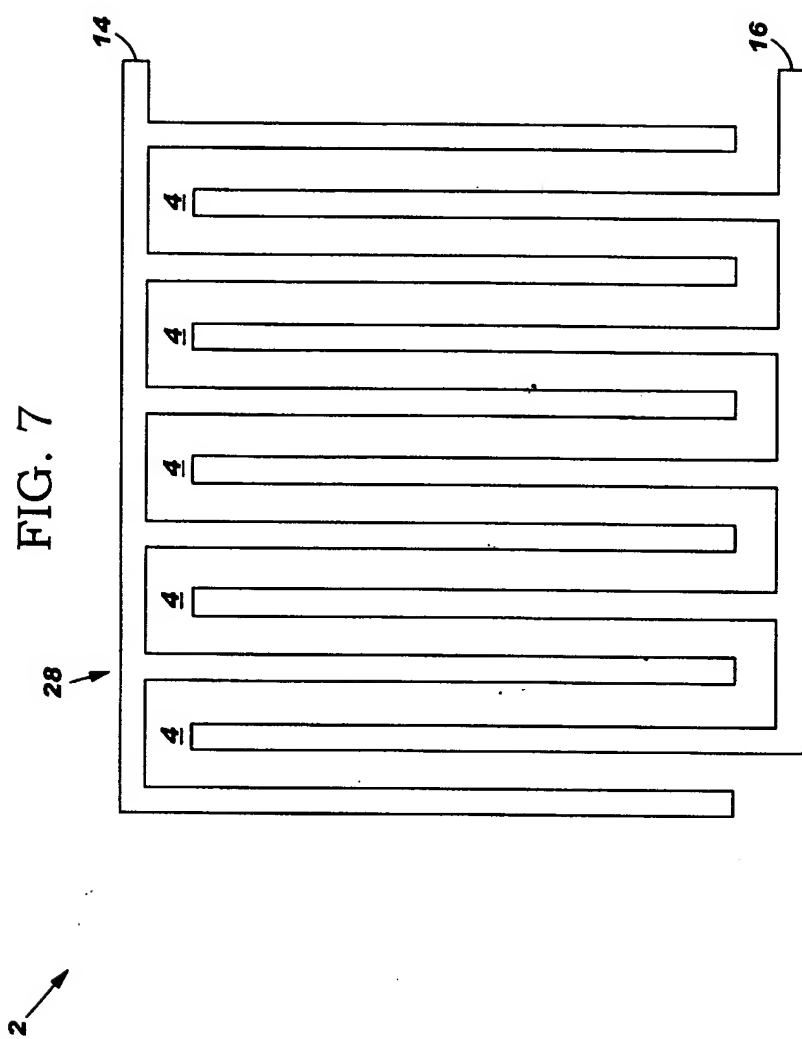


7/14

FIG. 6

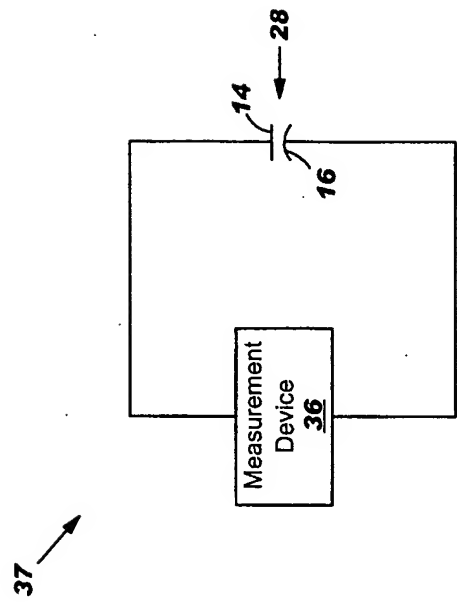


8/14



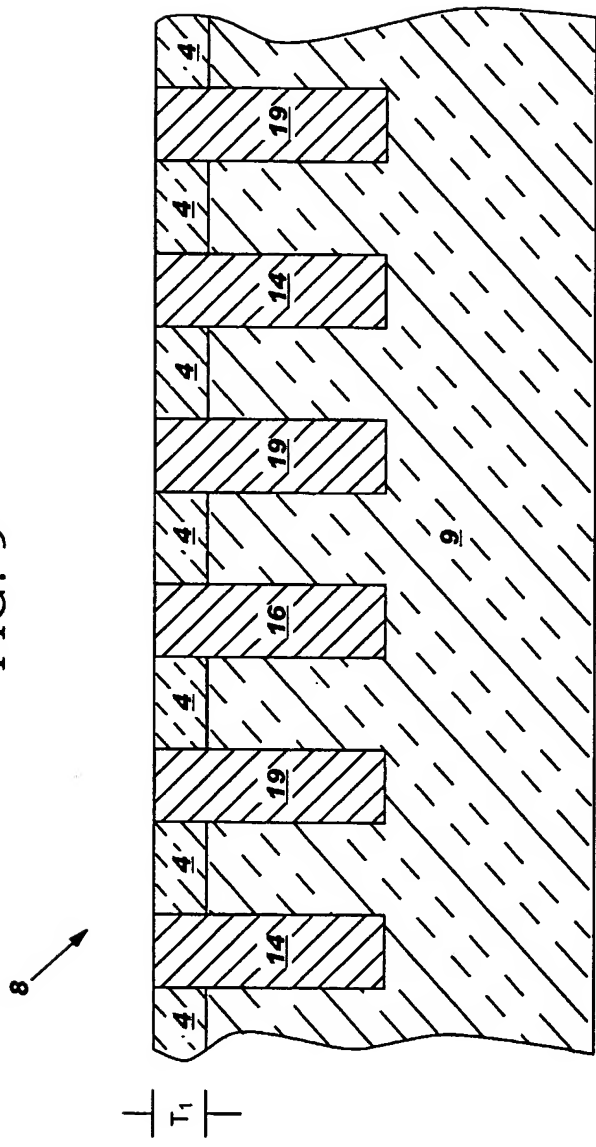
9/14

FIG. 8

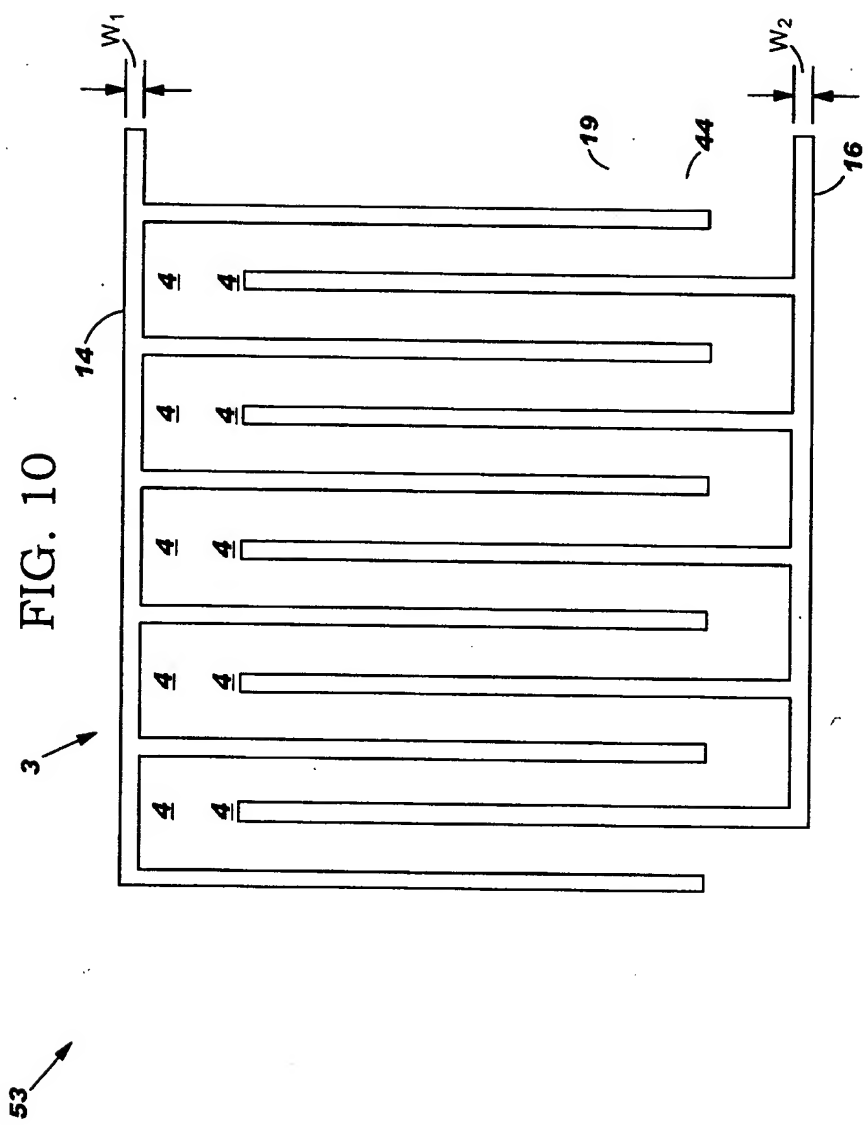


10/14

FIG. 9



11/14



12/14

FIG. 11

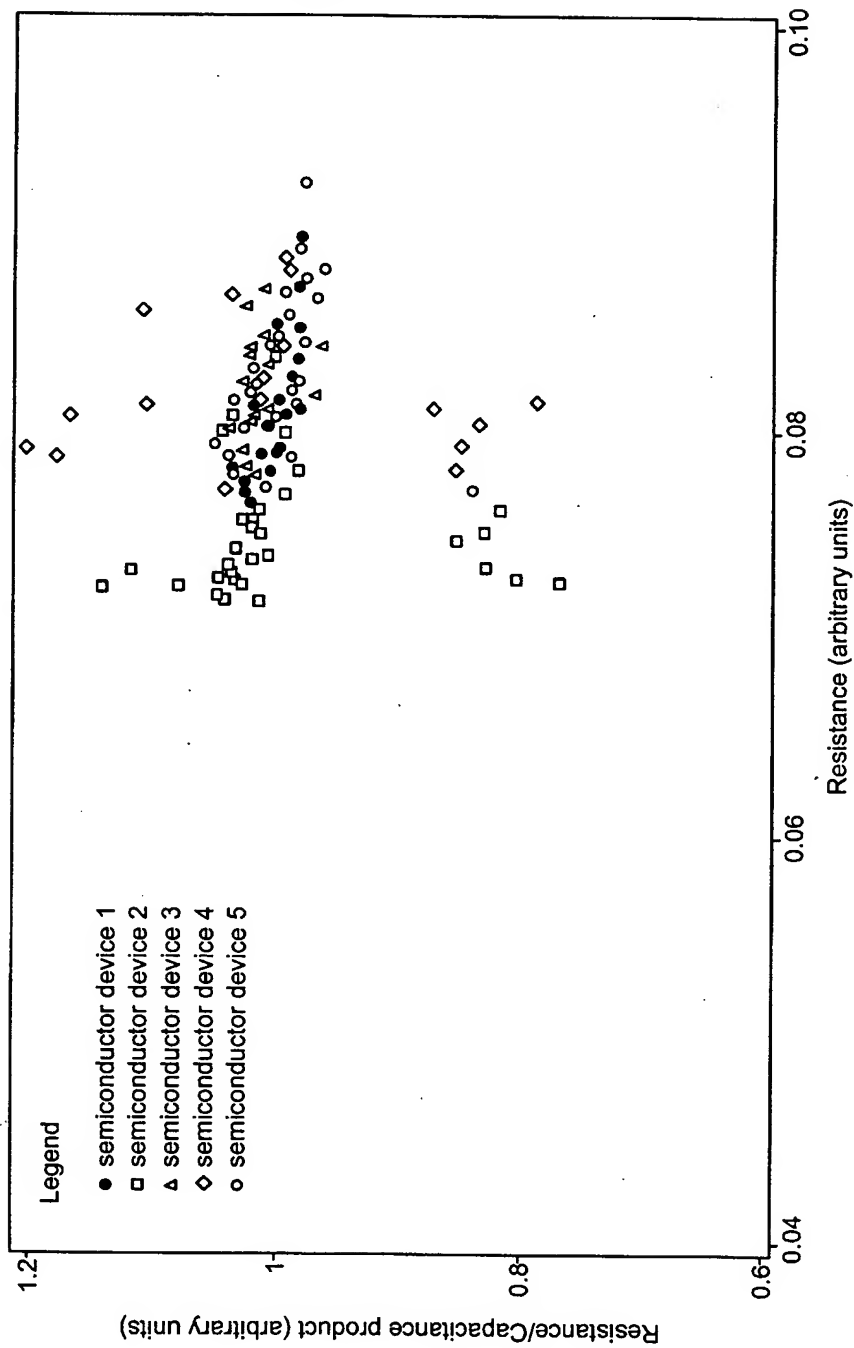


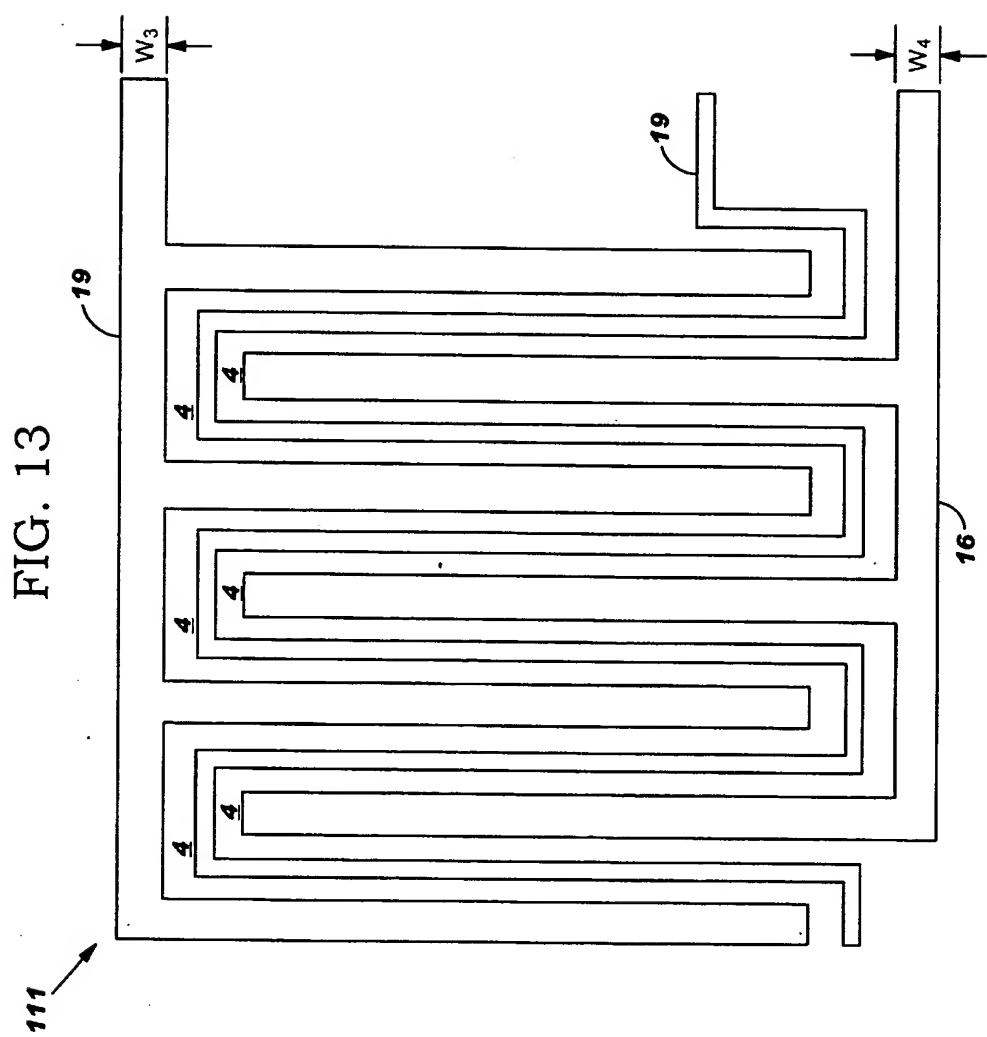
FIG. 12

	1	2	3	4	5	6	7	8	9	10	11	12	13	14	15	16	17	18	19	20	21	22	
22										-7755.00000													
21										6888.00000													
20																							
19	0.06631	0.06566								0.06530	0.06506												
	0.76680	0.77797								0.78755	0.78639	0.06603											
18																							
17																							
16	0.06776	0.06545	0.06393							0.06331	0.06315												
	0.69864	0.78353	0.79916							0.80745	0.80799	0.06541											
15																							
14																							
13	0.06495	0.06308								0.06275	0.06299	0.06272											
	0.79027	0.80851								0.81187	0.81205	0.81313	0.06672										
12																							
11																							
10	0.06357	0.06555	0.06234							0.06229	0.06291	0.06274											
	0.76296	0.78369	0.81822							0.81736	0.77154	0.81455	0.06400										
9																							
8																							
7	0.06512	0.06273								0.06210	0.06291	0.80366											
6		0.78762	0.81353																				
5																							
4	0.06609	0.06443	0.06332							0.06316	0.06316	-7755.00000											
	0.76915	0.75959	0.80882							0.80727	0.80727	-6888.00000	0.06657										
3																							
2																							
1	0.06665	0.06611	0.06522							0.78410	0.78712	0.78722	0.06582										

BUR920020114US1
Das, et al.

13/14

14/14



14/14

